

Typová lokalita Bulhary a modelování přírodě blízkých opatření modely Bilan, HEC-HMS a HYPE

Adam Vizina, Miriam Dzuráková a kol.

Název a sídlo organizace:

Výzkumný ústav vodohospodářský T. G. Masaryka, v.v.i., Podbabská 2582/30 Praha 6 160 00

Zadavatel:

Odbor ochrany vod

Zahájení a ukončení úkolu:

duben 2017 - duben 2018

Místo uložení zprávy:

VÚV TGM, v.v.i.

Ředitel:

Ing. Tomáš Urban

Náměstek ředitele pro výzkumnou a odbornou činnost:

Ing. Libor Ansorge, Ph.D.

Vedoucí odboru:

Ing. Anna Hrabánková

Řešitelé:

Ing. Adam Vizina, Ph.D., Ing. Miriam Dzuráková, Ing. Luděk Strouhal, Ing. Vojtěch Moravec (ČZU), Ph.D., Ing. Pavla Štěpánková, Ph.D., Doc. Ing. Martin Hanel, Ph.D., Ing. Roman Kožín, Ing. Adam Beran, Ing. Kamila Osičková, Ing. Jana Uhrová, Ph.D., Ing. Miloš Rozkošný, Ph.D..

Obsah

1	Úvod	3
1.1	Metodika řešení	3
1.1.1	Metoda CN křivek	3
1.1.2	Hydrologický model Bilan	5
1.1.3	Model HEC-HMS	6
1.1.4	Model HYPE	8
2	Modelování	9
2.1	Opatření	11
2.1.1	Stabilizace drah soustředěného odtoku (zatravnění údolnice) (odkaz na katalog)	13
2.1.2	Agrotechnická opatření/protierozní agrotechnologie (odkaz na katalog)	15
2.1.3	Zatravnění meziřadí na speciálních kulturách (vinicích) (odkaz na katalog)	16
2.2	Klima	17
2.3	Návrhové srážky	18
2.4	Analýza trendů	20
2.5	Výsledky modelování hydrologické bilance modelem Bilan	21
2.6	Výsledky modelování modelem HEC-HMS	21
2.7	Výsledky modelování modelem HYPE	24
3	Závěr	28

Seznam obrázků, map a grafů

1	Umístění povodí	10
2	Umístění povodí (satelitní mapa)	11
3	Lokalizace navržených protierozních opatření v povodí bez trvalého vodního toku na svazích na pravém břehu Dyje	12
4	Příklad zatravnění drah soustředěného odtoku (zdvoj: Dostál, Koudelka, FSV ČVUT)	13
5	Ponechání staré kultury jako podnosu nové jako typický příklad protierozního agrotechnického opatření (zdvoj: Cornell University, USA)	15
6	Zatravnění řádků na vinicích jako příklad protierozního opatření v Alsasku (Francie, vlevo)	16
7	Zatravnění řádků na vinicích jako příklad protierozního opatření na Jižní Moravě	16
8	Měsíční srážkové úhrny za období 1961-1990, 1991-2005 a 2006-2015 ve formě boxplotů	17
9	Průměrné měsíční teploty vzduchu za období 1961-1990, 1991-2005 a 2006-2015 ve formě boxplotů	18
10	Návrhové srážky s dobou opakování 2, 5, 10, 20 a 50 let	19
11	Průběh 5-min intenzit návrhových srážek	19
13	Analýza trendů srážek a teplot vzduchu pomocí Mann-Kendall testu	20
12	Rozdělení jednotlivých typů návrhové srážky	20
14	Hodnoty CN pro zájmové území a různé vláhové podmínky	21
15	Průměrné měsíční odtokové výšky ve formě boxplotů pro jednotlivé varianty hodnocení	22
16	Změny měsíčních odtokových výšek ve formě boxplotů (pře opatřením a po realizaci opatření)	22
17	Měsíční odtokové výšky za období 1961-1990, 1991-2005 a 2006-2015 ve formě boxplotů bez opatření (BEZ) a s opatřením (OP)	23
18	Návrhové průtoky dle N - letostí pro jednotlivé typy vln (čárkovaně-před opatřením, plně-po opatření)	25
19	Anorganický dusík	26

20	Organický dusík	26
21	Pevný fosfor	27
22	Rozpustný fosfor	27

Seznam tabulek

1	Hodnoty CN II pro jednotlivé kategorie půdního pokryvu a hydrologické skupiny půd	4
2	Hodnoty CN II pro jednotlivá opatření a hydrologické skupiny půd	30
3	Vyhodnocení krátkodobých srážko-odtokových epizod	31

1 Úvod

V předložené studii je rámcově kvyantifikován vliv přírodě blízkých retenčních opatření na hydrologický systém jednotlivých povodí. Navržený postup umožnuje stanovit hodnoty parametrů modelů Bilan a HMS pro povodí, jehož hydrologický systém je ovlivněn plošnými a líniovými přírodě blízkými retenčními opatřeními. Cílem je vyhodnocení jednotlivých opatření jak na dlouhodobý hydrologický režim, tak na extrémní odtoky v daných lokalitách.

Hodnocení jednotlivých opatření bylo provedeno v následujících scénářích:

1. bez opatření - normální stav (pro dlouhodobou bilanci)
2. bez opatření - kritický stav (pro extrémní odtoky)
3. navržená opatření - normální stav (pro dlouhodobou bilanci)
4. navržená opatření - kritický stav (pro extrémní odtoky)

1.1 Metodika řešení

Pro hodnocení ovlivnění odtokového režimu byla použita metoda SCS-CN v kombinaci se dvěma hydrologickými modely. Posouzení vlivu na dlouhodobou hydrologickou bilanci bylo provedeno pomocí modelu Bilan, pro posouzení vlivu na extrémní odtoky byl využit konceptuální model HMS a pro hodnocení kvality vody model HYPE.

1.1.1 Metoda CN křivek

Metoda SCS-CN je v ČR známa jako metoda odtokových křivek (CN z anglického Curve Number) je založena na experimentálním výzkumu. Metoda je celosvětově oblíbená vzhledem ke své jednoduchosti a stále se hojně využívá, přestože má mnohá teoretická omezení. Používá se ke stanovení velikosti přímého odtoku (povrchový odtok plus rychlý podpovrchový odtok) na základě znalosti úhrnu příčinné srážky a hydrologických vlastností půdy a půdního pokryvu. Metoda byla testována a ověřena mnohými výzkumy a studiemi odtokových poměrů. V malých povodích existuje dobrá korelace mezi naměřenou výškou odtoku a výškou odtoku stanovenou metodou SCS-CN. Průměrné hodnoty CN pro libovolné území lze snadno určit z běžných datových podkladů s využitím nástrojů GIS. Metoda CN křivek může být použita při navrhování vodohospodářských opatření a drobných staveb nacházejících se v ploše povodí nebo na vodních tocích do velikosti povodí 5 km^2 (Havlík a Fremrová, 2010). Mezi opatření a stavby prováděných v ploše povodí patří např. technická protierozní opatření jako jsou

dráhy soustředěného povrchového odtoku, zatravněné údolnice, průlehy, záchytné příkopy nebo zasakovací pásy, mezi typické stavby na malých vodních tocích pak patří malé vodní nádrže nebo suché nádrže (Smelík, 2016).

Metoda byla odvozena na zemědělsky využívaných povodích, jejichž plocha není větší než 10 km^2 . Zejména pro velká povodí je potřeba u výsledků výpočtu počítat se značnými nepřesnostmi. Dalším faktorem ovlivňujícím přesnost metody zejména pro extremální úlohy je časové rozložení intenzit srážek, které metoda CN nezohledňuje a pro jakýkoliv zvolený průběh srážky dává totožný objem odtoku. Průměrná hodnota CN se pro konkrétní území určuje jako plošný vážený průměr hodnot pro jednotlivé pozemky. Tato detailní čísla se stanovují obvykle podle metodických tabulek. Pro potřeby projektu byly hodnoty CN převzaty z originální metodiky (SCS, 1986). Pro přiřazení CN k elementárním odtokovým plochám je potřeba znát druh půdního pokryvu (PP) a hydrologickou skupinu půd (HSP). Datová vrstva PP byla odvozena ze ZABAGED se zjednodušením na 10 kategorií povrchu. Pro určení hydrologické skupiny půd byla využita volně dostupná data BPEJ pro zemědělskou půdu a vrstva Lesních typů od ÚHÚL překlasifikovaná na HSP dle metodiky (Macků, 2012). Tabelované hodnoty CN se zpravidla vztahují k průměrnému vlhkostnímu stavu danému indexem předchozí srážky (IPS2), pro potřeby extremálního modelování byly hodnoty CN II dále přepočteny i pro nasycený stav daný indexem IPS3. Pro každé řešené území byly určeny průměrné hodnoty CN II a CN III, které byly následně přepočteny na jím příslušnou retenci. Tyto hodnoty jsou nezbytné pro stanovení parametru Sp_a v hydrologickém modelu BILAN a objem přímého odtoku v modelu HMS. V následující tabulce 1 jsou uvedeny tabelované CN II hodnoty pro jednotlivé kombinace HSP a PP.

Tabulka 1: Hodnoty CN II pro jednotlivé kategorie půdního pokryvu a hydrologické skupiny půd

Typ	A	B	C	D
Orná půda (úhor/obilniny)	77/64	86/75.5	91/83.5	94/87.5
Chmelnice	40.8	63	74.8	80.8
Vinice	40.8	63	74.8	80.8
Sad	39.5	62	74.5	80.5
Trvalý travní porost	34.5	59.5	72.5	79
Zahrada, park	49	69	79	84
Lesní půda se stromy	30	55	70	77
Křovinaté porosty	32.5	57	70.5	77.5
Vodní plocha	98	98	98	98
Antropogenizované plochy	81	88	91	93

Hodnoty CN II pro jednotlivá navržená opatření byly určeny podle originální metodiky ([SCS, 1986](#)) tak, že jim byly přiřazeny hodnoty CN podle charakterově nejbližší kategorie půdního pokryvu. Rozdíly v hodnotách CN oproti původnímu stavu udávají změnu v odtokových poměrech způsobené daným typem opatření, výsledné hodnoty jsou zobrazeny v tabulce [2](#). Hodnoty -1 označují opatření modelovaná jiným způsobem, než změnou CN.

1.1.2 Hydrologický model Bilan

Pro modelování hydrologické bilance byl použit model Bilan, který je vyvíjen více jak 15 let na oddělení hydrologie Výzkumného ústavu vodohospodářského T. G. Masaryka, v.v.i. Model počítá v denním či měsíčním časovém kroku chronologickou hydrologickou bilanci povodí či území. Vyjadřuje základní bilanční vztahy na povrchu povodí, v zóně aerace, do níž je zahrnut i vegetační kryt povodí a v zóně podzemní vody. Jako ukazatel bilance energie, která hydrologickou bilanci významně ovlivňuje, je použita teplota vzduchu. Výpočtem se modeluje potenciální evapotranspirace, územní výpar, infiltrace do zóny aerace, průsak touto zónou, zásoba vody ve sněhu, zásoba vody v půdě a zásoba podzemní vody. Odtok je modelován jako součet tří složek: dvě složky přímého odtoku (zahrnující i hypodermický odtok) a základní odtok ([Vizina et al., 2015](#)). Pro modelování hydrologické bilance byla použita měsíční verze modelu, která má 8 parametrů. Pro samotný odtok má největší význam parametr *Spa*, který udává retenci půdy v povodí a parametr *Grd* udávající odtok ze zásob podzemních vod (základní odtok).

Vstupem do modelu jsou denní či měsíční:

- srážkové úhrny [mm]
- průměrné teploty [st. C]
- průměrná vlhkost vzduchu [%]
- pozorované odtokové výšky [mm]
- užívání vody
- potenciální evapotranspirace [mm]

Pro hodnocení se využilo přístupu práce ([Máca et al., 2016](#)), kde pro stanovení parametru *Spa* byl identifikován následující lineární model na základě krokové regrese:

$$Spa = 0,71S_3 + 88,91D_d - 8,89St + 65,76, \quad (1)$$

kde hlavní soubor deskriptorů je tvořen S_3 maximální retencí pro II. typ předchozích vláhových podmínek [mm]; D_d je hustota říční sítě povodí [km/km^2] a St průměrný sklon říční sítě v [%]. Celý soubor představuje statisticky významné vstupní veličiny, což bylo potvrzeno výsledky F testu a t-testů, koeficient determinace lineárního modelu je roven 0,33.

Pro parametr Grd byl krokovou regresí stanoven následující lineární model:

$$Grd = 0,02St - 0,003S_{max} + 0,23, \quad (2)$$

kde soubor deskriptorů je tvořen St průměrným sklonem říční sítě v [%], S_{max} maximálním lokálním sklonem v povodí v [%]. Opět výsledný model obsahuje statisticky významné vysvětlující geomorfologické veličiny podle F testu a t-testů, koeficient determinace je roven 0,17.

Pro samotné stanovení parametrů modelu byly vypočteny pro jednotlivá povodí hydrogeomorfologické charakteristiky jako:

- hustota říční sítě,
- průměrný sklon říční sítě,
- sklonitost povodí,

které jsou také vstupem pro odvození parametrů hydrologického modelu.

1.1.3 Model HEC-HMS

Pro hydrologickou praxi velmi dobře známý HEC-HMS je veřejně dostupný a bezplatně poskytovaný nástroj vyvíjený v americkém Hydrologic Engineering Center. Jedná se o softwarové prostředí umožňující využití řady výpočetních modelů a metod, z nichž asi nejrozšířenější je metoda odtokových křivek SCS-CN. Výstupem metody je odtoková výška nebo také úhrn efektivní srážky. S využitím vstupního hyetogramu příčinné srážky lze s touto metodou odvodit i hyetogram efektivní srážky. Velkou nevýhodou této metody je, že hodnota výsledné odtokové výšky není závislá na časovém rozložení příčinné srážky. Odtoková výška ze dvou srážek s totožným úhrnem ale s průběhy např. v podobě rovnoměrného deště nízké intenzity a přívalovou srážkou je rovněž totožná, což neodpovídá fyzikálním principům tvorby přímého odtoku. Z tohoto důvodu je třeba opatrnosti při interpretaci výsledků modelu, neboť objemy odtoku i kulminační průtoky mohou být u přívalových srážek podhodnoceny.

Pro určení výsledného odtoku z příčinné srážky je nutné hyetogram efektivní srážky získaný metodou SCS-CN transformovat do odtokové odezvy. V HMS lze k tomuto účelu využít opět

řadu metod, nejznámější je pravděpodobně metoda jednotkového hydrogramu. Jedná se o jedno- či víceparametrickou matematickou funkci rozkládající jednorázový srážkový impulz do odtokové vlny. Parametry určující tvar hydrogramu lze odvodit často z hydro-morfologických charakteristik povodí, například maximální délky odtokové dráhy a průměrného sklonu povodí.

Pro určení dopadů navržených opatření na extrémní odtoky byly v HMS sestaveny modely povodí ve všech řešených lokalitách a to ve dvou variantách – před a po realizaci opatření. Podle velikosti povodí a umístění případných retenčních prvků na vodních tocích sestával model z jednoho až šesti dílčích podpovodí. Pokud realizací navrženého opatření došlo ke změně hydrologického povodí, byla tato skutečnost v modelu zahrnujícím opatření rovněž reflektována rozšířením plochy zdrojových povodí. Pro určení objemu odtoku byly použity průměrné hodnoty CN II spočtené dle 1 a 2, u orné půdy pak byly použity hodnoty pro nejvíce rizikový scénář, tedy holý úhor. Pro transformaci odtoku byla zvolena metoda SCS jednotkového hydrogramu, která vyžaduje pouze jeden parametr, dobu zpoždění, určenou z hodnoty CN II, maximální délky odtokové dráhy a průměrného sklonu povodí. Poslední dvě jmenované hodnoty byly určeny na základě DMT z rozlišením 10 m s využitím hydrologických nástrojů v prostředí ArcGIS.

Všechny modely povodí byly zatíženy sadou šestihodinových návrhových srážek s dobou opakování $N = 2, 5, 10, 20$ a 50 let a to v několika variantách průběhu intenzity srážky. Návrhové úhrny byly určeny individuálně pro každé povodí, ale shodně pro všechna dílčí podpovodí v rámci řešeného povodí. Úhrny byly získány pomocí webové processingové služby (WPS) poskytované pracovištěm ČVUT <http://rain.fsv.cvut.cz/webapp/webove-sluzby/>.

Krátkodobé srážky, které jsou nejčastější příčinou extrémních odtoků z malých povodí, se vyznačují značnou časovou variabilitou průběhu. (Müller et al., 2017). Odvodili na území ČR šest typických průběhů šestihodinových srážek A-F včetně četnosti jejich výskytu v závislosti na poloze a době opakování. Stejně jako návrhové úhrny byly tyto četnosti výskytu ve všech povodích získány s využitím zmíněné WPS služby. Pro modelování v HMS pak byly vybrány typy průběhů s významným zastoupením (více než 17%) při dvou a více dobách opakování. Ve většině případů se jedná o průběhy typické pro přívalové srážky, pouze typ F je charakteristický pro frontální události a předběžné analýzy předchozích podmínek ukazují na častý příchod tohoto typu srážky do již nasycených podmínek. Proto byly srážky s průběhy A-E použity na modely povodí s průměrným stavem předchozího nasycení (CN II), zatímco pokud se v dané lokalitě častěji vyskytovala srážka typu F, byl použit vyšší stav nasycení (CN III).

V modelování odezvy povodí na extrémní srážky byly zohledněny významné retenční prvky – větší rybníky, vodní nádrže (současně i navržené) a navržené suché nádrže. Výpočet transformace umožňuje HMS na základě definice výpustních objektů a křivek zásobní funkce

nádrže či zatopených ploch. Objekty byly specifikovány orientačně na základě dimenzií typických pro daný typ stavby, případně odhadem dle ortofoto snímku. Zásobní funkce nádrže byly odvozeny v GIS na základě DMT a mapových podkladů. V případě navržených *opatření na stávajících VN* byla uvažována redukovaná výchozí hladina v nádrži v úrovni 20 cm pod hranou přelivu.

Posledním typem modelovaného opatření je revitalizace vodního toku a přilehlé nivy. Pro transformaci odtokové vlny ve vodním toku využívá HMS jednoduchou hydrologickou metodu Muskingum-Cunge. Pro definici transformace je nutné zadat délku a sklon říčních úseků, geometrii koryta a jeho hydraulické drsnosti. Délka a sklon byly určeny v GIS, geometrie byla definována zjednodušeně jako jednoduché kapacitní lichoběžníkové koryto pro ovlivněné úseky toku a jako složené lichoběžníkové koryto s širokými bermami pro přírodě blízké úseky. Jako příslušné výchozí drsnosti byly použity hodnoty 0.025, respektive 0.025 či 0.03. Pokud byla v povodí navržena revitalizace vodního toku, byla v daném úseku o 30~% navýšena délka, příslušným způsobem snížen podélný sklon, příčný profil změněn na přírodě *blízkou variantu* a zvýšena hydraulická drsnost na 0.03 či 0.035.

1.1.4 Model HYPE

HYPE je semidistribuovaný open-source hydrologický model (Arheimer et al., 2012), který funguje na bázi fragmentace povodí na subpovodí, která jsou dále rozdělena do skupin hydrologicky responzivních jednotek (HRJ), které jsou výsledkem kombinace rastrových vrstev, jmenovitě vrstva digitálního modelu terénu, vrstva sklonitosti, vrstva krajinného krytu, vrstva základních hydropedologických ukazatelů (hloubka hydrologicky aktivní vrstvy půdy a skeletovitost půdy) a volitelně v rámci modelování kvality vody vrstva plodinových map popřípadě drenážních systémů. Jednotlivé HRJ mají unikátní hydrologický režim, jež je ovládán příslušnými parametry modelu. HRJ vstupují do modelu ve formě procentuálního zastoupení každé HRJ v rámci jednotlivých povodí. Model uvažuje až tři půdní vrstvy s rozdílnými hloubkami pro přesnější simulaci pohybu nutrientů půdou. Model pracuje se třemi skupinami parametrů, které jsou vázány buď globálně nebo na druh krajinného pokryvu nebo na typ půdy.

Kromě zmínovaných rastrových vstupů jsou dále vstupem do modelu charakteristiky vodních děl, zejména těch manipulovaných, jmenovitě hloubka, objem, plocha, typ vodní nádrže, průměrný odtok z nádrže, minimální zůstatkový odtok z nádrže a řada dalších. Vstupem do modelu je také procentuální zastoupení vodních ploch na povodí, které bylo odvozeno z vektorové vrstvy nádrží z databáze DIBAVOD. Stejně tak délka hlavního toku a délka vedlejších toků. Protože na experimentálních lokalitách nejsou k dispozici údaje o průtocích ani záznamy o kvalitě vody, byly vybrány analogony (povodí s podobnými charakteristickými

vlastnostmi, která měla k dispozici buď měření průtoků, nebo údaje o kvalitě vody, a na která byl model kalibrován), na které byly přeneseny parametry modelu z experimentálních lokalit. Poněvadž zatím nebylo známo uskupení pěstovaných rostlin v daných experimentálních lokalitách, byly aplikovány standardní hodnoty pro obecnou plodinu, kterou byla zvolena obilovina.

Z důvodu chybějících údajů pro jednotlivé lokality (viz výše), bylo modelování vlivu adaptačních opatření na jakost vody provedeno formou citlivostní analýzy vnitřních komponent modelu, které lze považovat za formy některých adaptačních opatření.

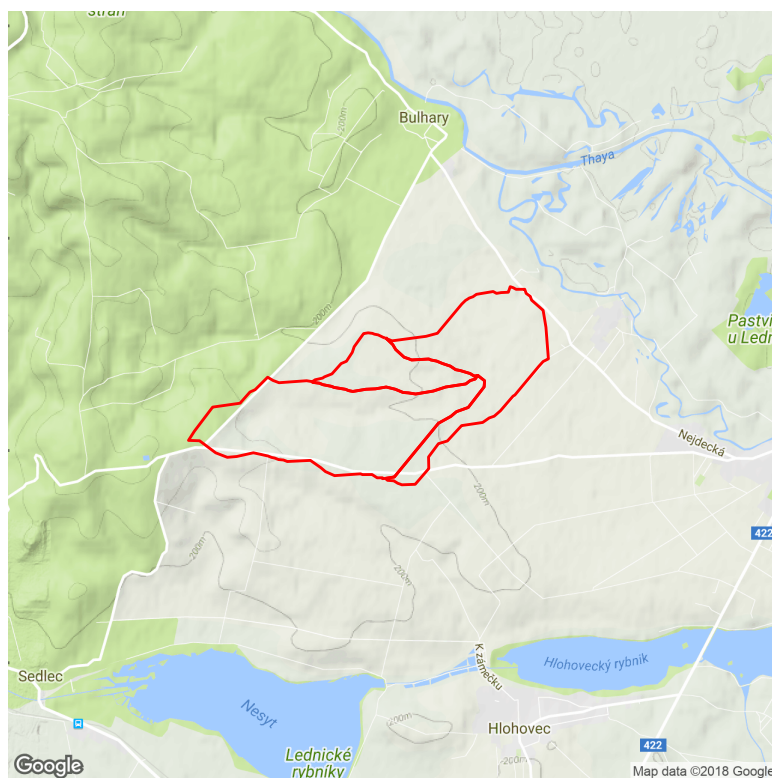
Zmiňovanými komponenty byly:

1. **změna struktury půdy:** uvažována záměna jemnozrnné půdy za půdu hrubozrnnou, a to v pětiprocentním kroku, jinými slovy v každém kroku bylo z povodí odebráno 5 % půdy jemnozrnné a přidáno 5 % půdy hrubozrnné.
2. **změna krajinného krytu (landuse):** uvažována záměna orné půdy za luční porost, a to v pětiprocentním kroku, jinými slovy v každém kroku bylo z povodí odebráno 5 % orné půdy a přidáno 5 % lučního porostu.
3. **změna v množství dávkovaných hnojiv:** bylo uvažováno odečítání v desetiprocentním kroku od standartního dávkování, dokud dávkování nebylo rovno 0 % standartní dávky a naopak přičítání k standartnímu dávkování dokud dávkování nebylo rovno 200 % standartní dávky.
4. **změna v množství atmosférické (suché i mokré) depozice dusíku:** bylo uvažováno odečítání ve dvacetipětiprocentním kroku od standartních hodnot atmosférické depozice, dokud depozice nebyla rovna 0 % standartní depozice a naopak přičítání k standartní hodnotě atmosférické depozice dokud depozice nebyla rovna 200 % standartní depozice.
5. **změna teploty ovzduší o 2 st. C:**¹ bylo uvažováno zvýšení veškeré vstupní teploty do modelu o 2 st. C.

2 Modelování

Zájmové území se nachází na katastru obce Bulhary v okrese Břeclav a tvorí jej povodí bez trvalé vodoteče jižně od obce na zemědělsky intenzivně obdělávaných pozemcích na pravém

¹Spíše než jako adaptační opatření byla tato změna zavedena za účelem zjištění citlivosti modelu na zvýšení teploty v rámci jakosti vody.



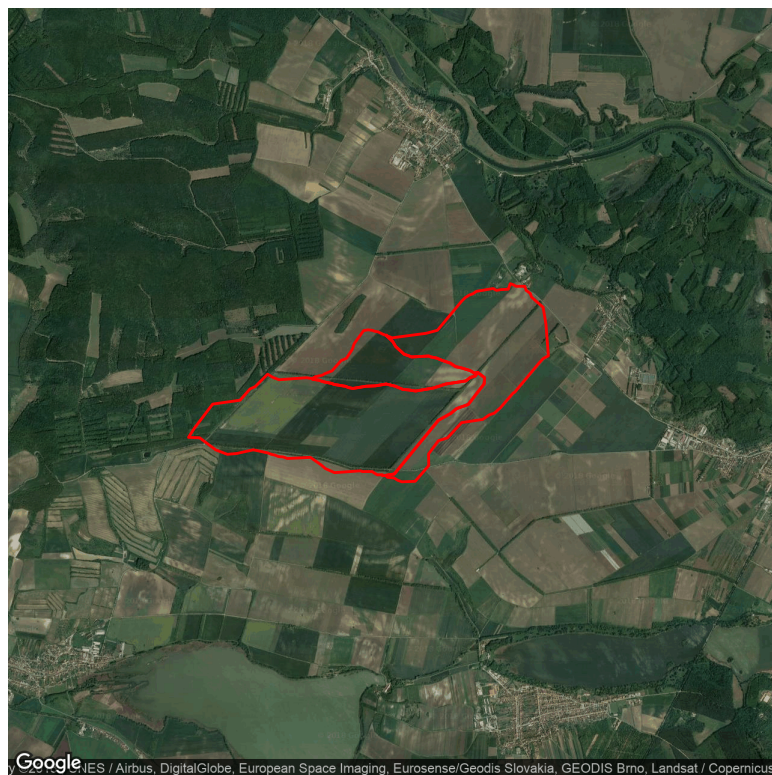
Obrázek 1: Umístění povodí

břehu Dyje. Plocha povodí činí $3,83 \text{ km}^2$, průměrná nadmořská výška povodí ležícího v JZ části Dolnomoravského úvalu činí 204 m n.m. V zájmovém území charakteristickém dlouhými drahami odtoku ve výrazných údolnicích s rozsáhlými nedělenými bloky orné půdy jen zřídka dělenými líniovými prvky byly zaznamenány četné projevy plošné eroze zemědělské půdy vodní i větrnou erozí. Na většině plochy povodí proto byly v souladu s Generelem vodního hospodářství krajiny ČR navrženy 3 typy protierozní opatření.

Umístění řešené lokality je zobrazeno na mapě 1 a satelitní mapa, kde je možné sledovat krajinný pokryv je poté na mapě 2. Navržená společná zařízení jsou na obrázku ??.

Základní charakteristiky hodnoceného povodí Bulhary:

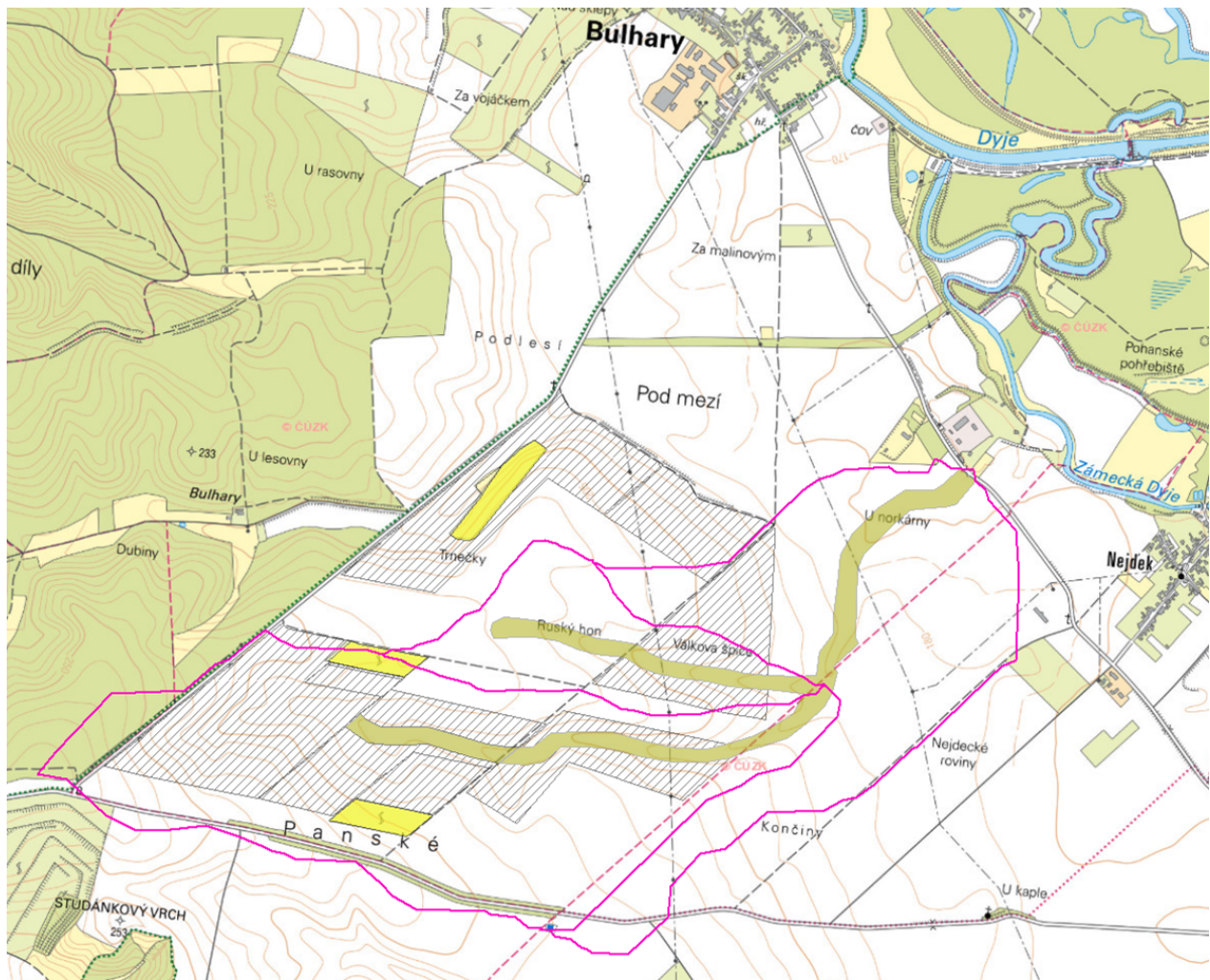
- plocha povodí: 3.828 km^2
- průměrný srážkový úhrn: 530 mm
- průměrná teplota: 9.7 st.C
- průměrná roční potenciální evapotranspirace: 744.24 mm
- průměrná nadmořská výška: 204.16 mn.m.
- průměrná sklonitost: 1.8 \%



Obrázek 2: Umístění povodí (satelitní mapa)

2.1 Opatření

V zájmové lokalitě Bulhary jsou navržena tato opatření:



Obrázek 3: Lokalizace navržených protierozních opatření v povodí bez trvalého vodního toku na svazích na pravém břehu Dyje

2.1.1 Stabilizace drah soustředěného odtoku (zatravnění údolnice) ([odkaz na katalog](#))



Obrázek 4: Příklad zatravnění drah soustředěného odtoku (zdroj: Dostál, Koudelka, FSV ČVUT)

2.1.2 Agrotechnická opatření/protierozní agrotechnologie ([odkaz na katalog](#))

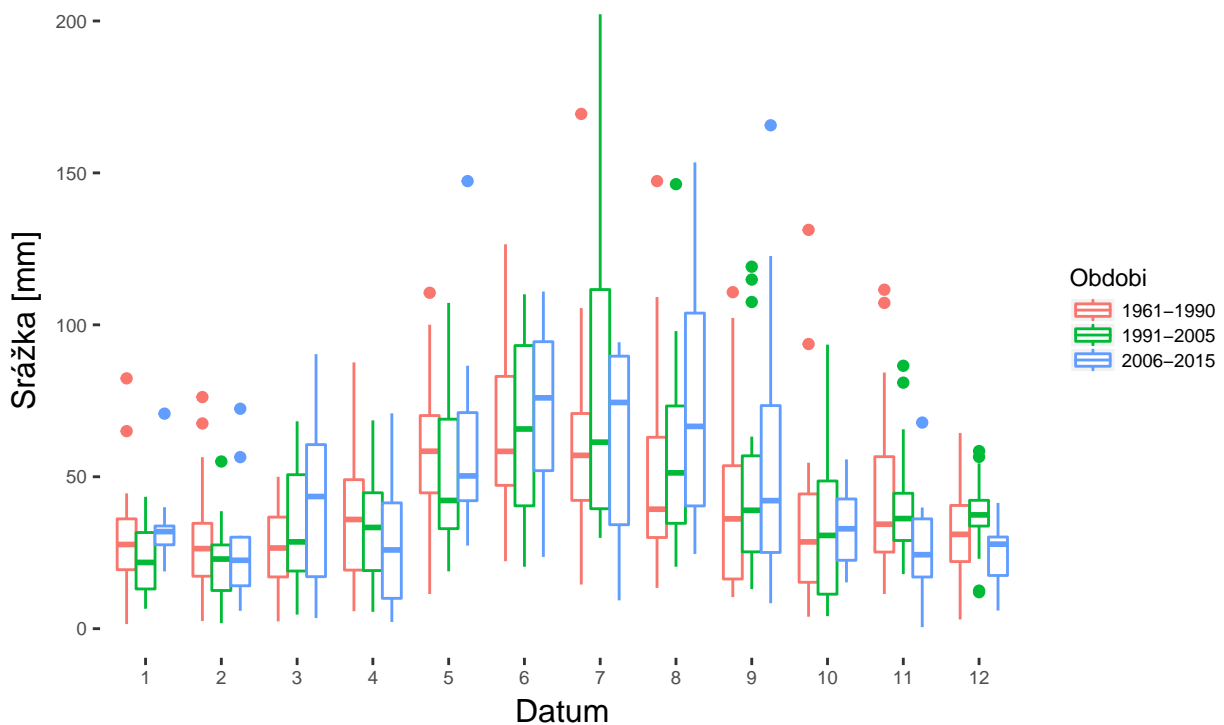
Obrázek 5: Ponechání staré kultury jako podnosu nové jako typický příklad protierozního agrotechnického opatření (zdroj: Cornell University, USA)

2.1.3 Zatravnění meziřadí na speciálních kulturách (vinicích) ([odkaz na katalog](#))

Obrázek 6: Zatravnění řádků na vinicích jako příklad protierozního opatření v Alsasku (Francie, vlevo)



Obrázek 7: Zatravnění řádků na vinicích jako příklad protierozního opatření na Jižní Moravě



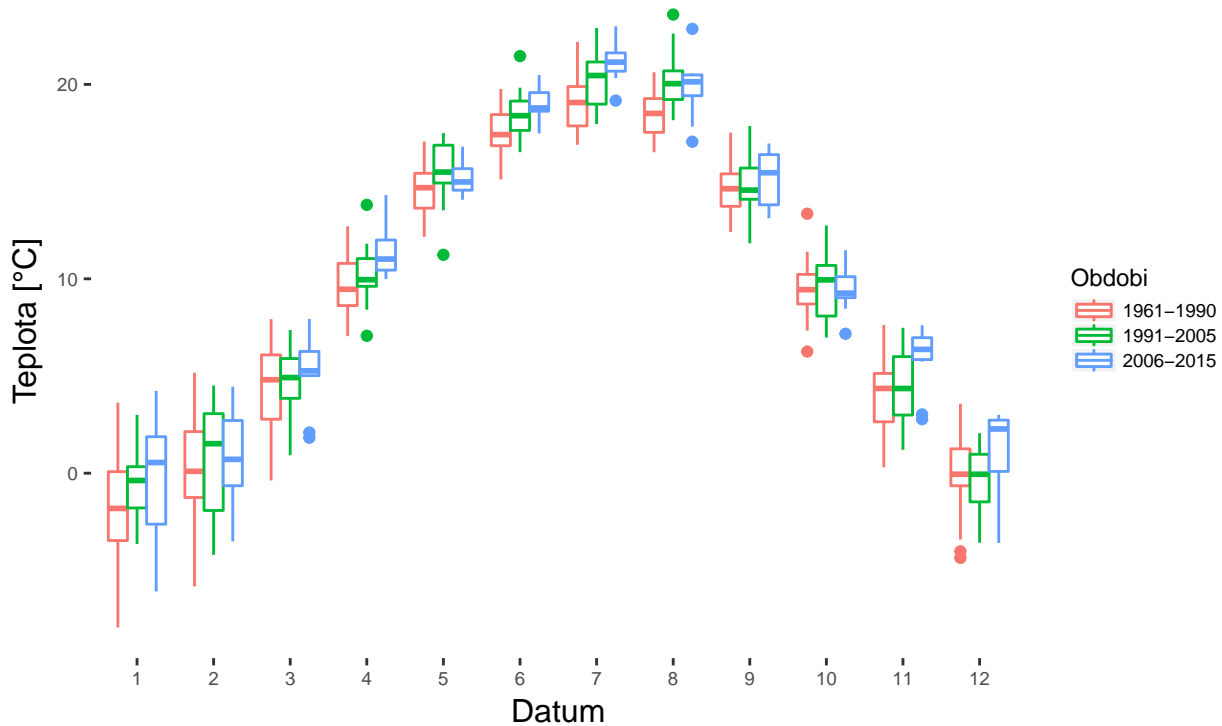
Obrázek 8: Měsíční srážkové úhrny za období 1961-1990, 1991-2005 a 2006-2015 ve formě boxplotů

2.2 Klima

Vyhodnocení klimatologických veličin bylo provedeno pomocí boxplotů² pro 3 časová období: 1961-1990, 1991-2005 a 2006-2015. Jednotlivá období jsou od sebe barevně odlišena. Na grafu 8 lze vidět, že prostřední období 1991-2005 bylo srážkově nadprůměrné a současný stav se přiblížil podmírkám v období 1961-1990 (z pohledu průměrných měsíčních úhrnů).

Pro hodnocení změn teplot vzduchu za období 1916-2015 je zvolen graf typu boxplot (9). Hodnoceny jsou průměrné měsíčné teploty vzduchu za období 1961-1990, 1991-2005 a 2006-2015. Můžeme pozorovat výrazný nárůst teplot, a to především v zimních a letních měsících. Což s sebou v zimě snížené zásoby ve sněhu a dřívější jarní tání (pokud jsou zásoby sněhové pokrývky) a v létě výrazným nárůstem evapotranspirace.

²Boxplot neboli krabicový graf či krabicový diagram jeden ze způsobů grafické vizualizace numerických dat pomocí jejich kvartilů. Střední krabicová část diagramu je shora ohraničena 3. kvartilem, zespodu 1. kvartilem a mezi nimi se nachází linie vymezující medián.

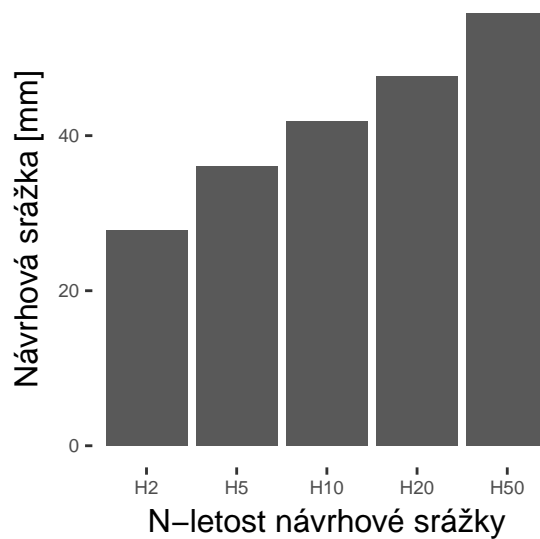


Obrázek 9: Průměrné měsíční teploty vzduchu za období 1961-1990, 1991-2005 a 2006-2015 ve formě boxplotů

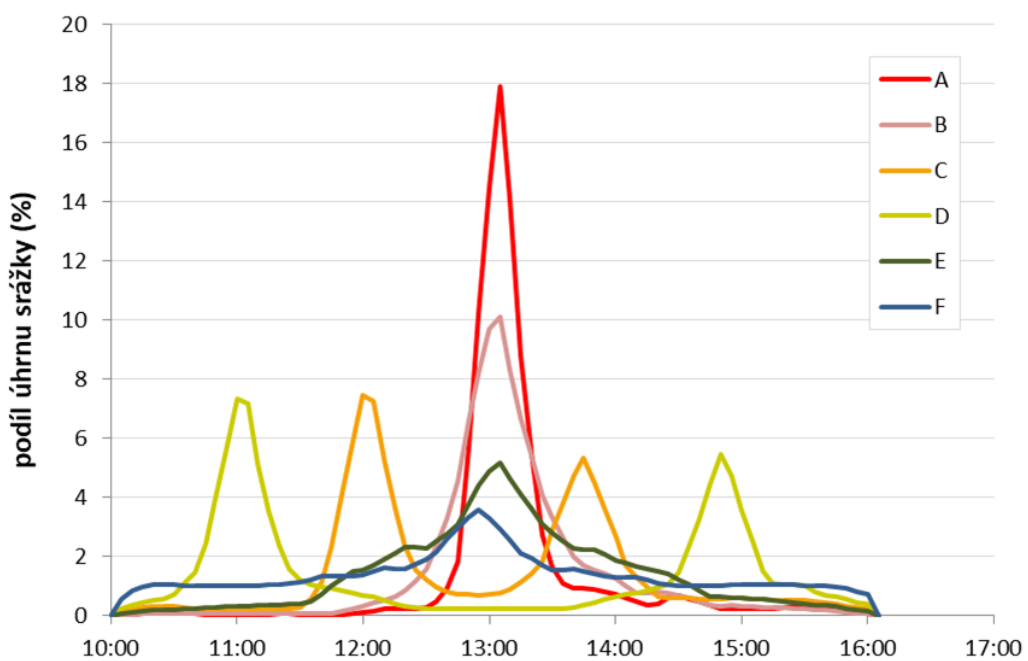
2.3 Návrhové srážky

Pro posouzení modelem HEC-HMS byly odvozeny návrhové srážky pro lokalitu Bulhary s dobou opakování 2, 5, 10, 20 a 50 let . Pro odezvu malých povodí jsou klíčové krátkodobé intenzivní srážky, uvažovány byly srážky 6hodinové, pro které jsou k dispozici volně dostupná data o úhrnech a časových průbězích prostřednictvím webové processingové služby (WPS) <http://rain.fsv.cvut.cz/webapp/webove-sluzby/>. Návrhové 6hodinové úhrny jsou zobrazeny na grafu 10.

Průběh návrhové srážky významně ovlivňuje hydrologickou odezvu. Rozmanitost průběhá je velmi značná a z těchto důvodů byly použity šestihodinové hyetogramy, které jsou uvedeny na následujícím obrázku. Tvary hyetogramů jsou označeny písmeny A až F, kdy tvary A, B, E a F mají jednoduchý průběh.

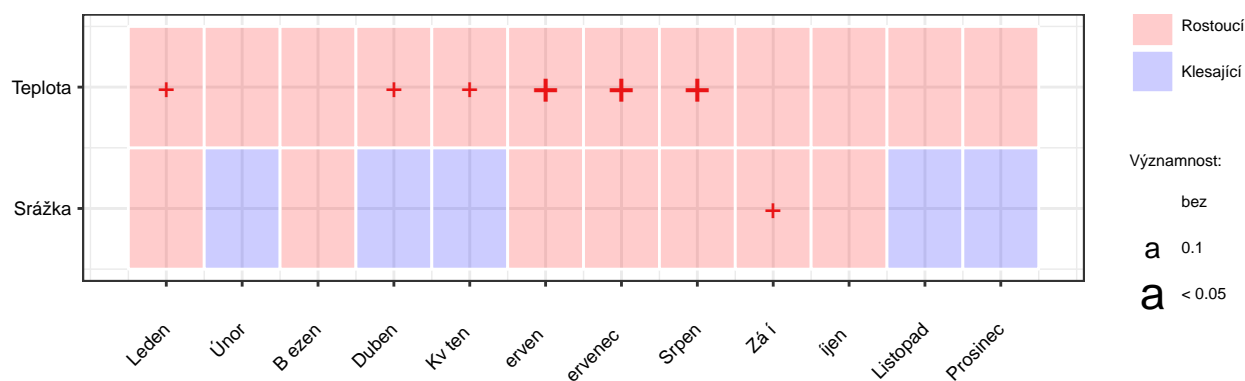


Obrázek 10: Návrhové srážky s dobou opakování 2, 5, 10, 20 a 50 let

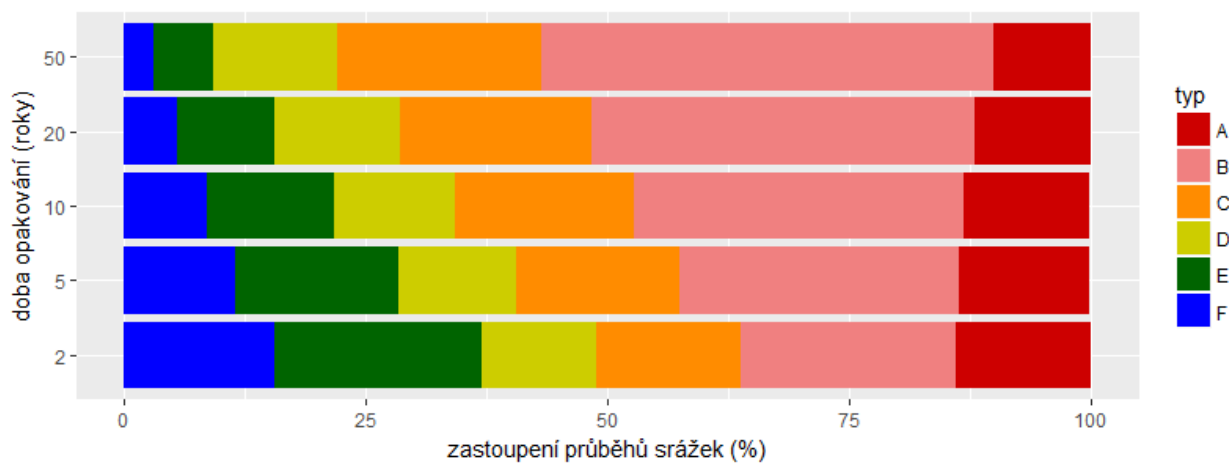


Obrázek 11: Průběh 5-min intenzit návrhových srážek

Pravděpodobnost výskytu návrhové srážky pro danou N-letost je zobrazena v dalším grafu.



Obrázek 13: Analýza trendů srážek a teplot vzduchu pomocí Mann-Kendall testu

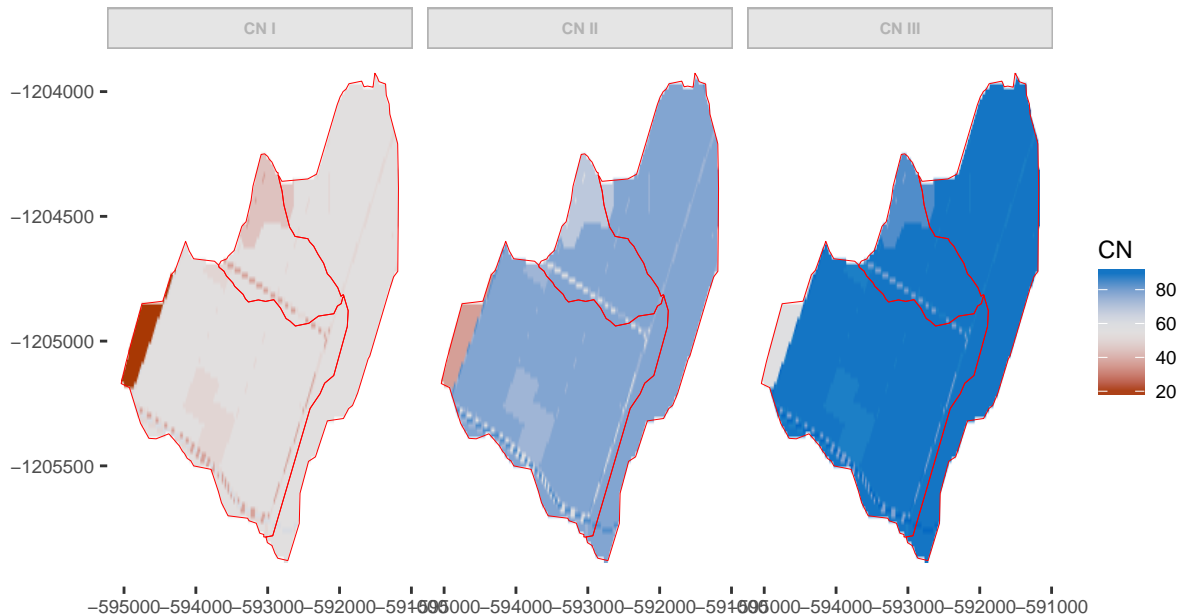


Obrázek 12: Rozdělení jednotlivých typů návrhové srážky

2.4 Analýza trendů

Zdali existují změny v jednotlivých měsících a jestli jsou tyto trendy statisticky významné za období 1961-2015 bylo posouzeno Mann-Kendalovým testem. Výsledky jsou zobrazeny na 13. Lze pozorovat statisticky významný nárůst teploty s vysokou hladinou významnosti především v měsících počátku vegetačního období, kdy naopak srážkové úhrny mají spíše tendenci klesat. Celkově srážkové úhrny spíše lehce rostou.

Na obrázku 14 jsou zobrazeny hodnoty CN I, CN II a CN III pro současné podmínky (bez navrhovaných opatření) a různé vláhové podmínky.



Obrázek 14: Hodnoty CN pro zájmové území a různé vláhové podmínky

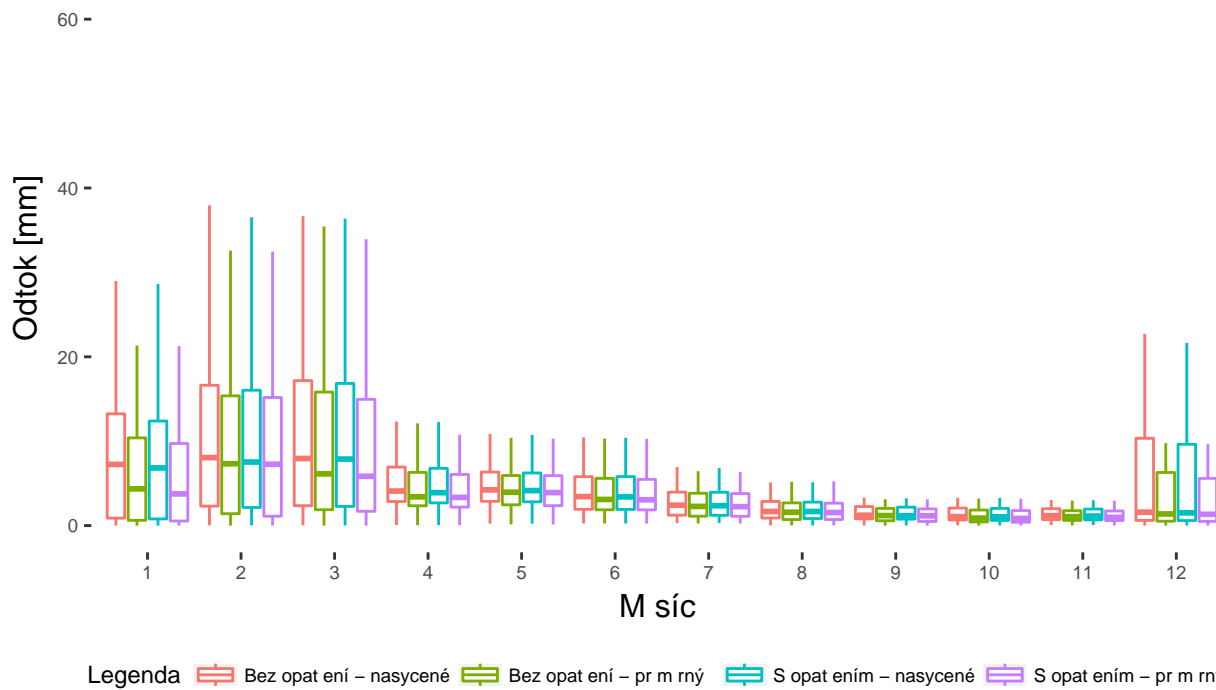
2.5 Výsledky modelování hydrologické bilance modelem Bilan

Na obrázku 15 jsou vyhodnoceny průměrné odtokové výšky za období 1961-2015 pro danou lokalitu a 4 scénáře. Na grafu 16 jsou zobrazeny změny odtokových výšek po aplikaci opatření pro průměrný a nasycený stav. Na grafech 17 jsou zobrazeny odtokové výšky v jednotlivých měsících rozdělených do 3 období: 1961-1990, 1991-2005 a 2006-2015 pro varianty před realizací opatření a po jejich realizaci.

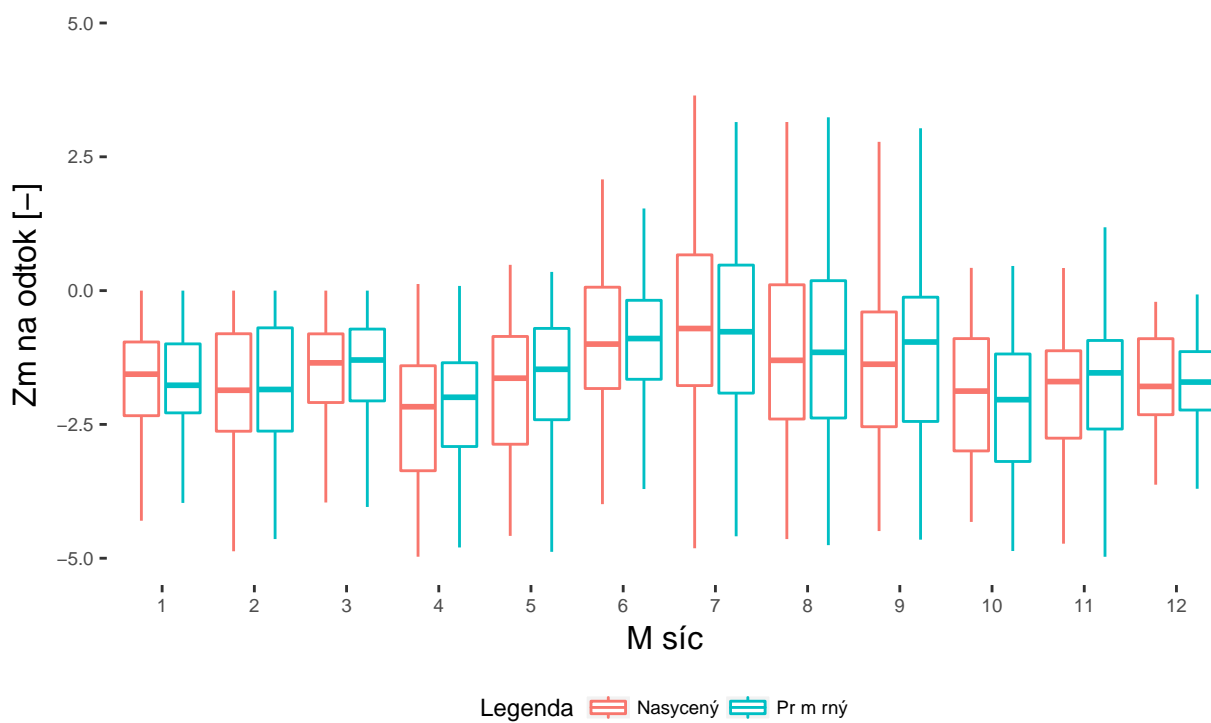
2.6 Výsledky modelování modelem HEC-HMS

V zájmové lokalitě Bulhary byla navržena středně rozsáhlá agrotechnická, organizační a technická protierozní opatření v ploše povodí. Toto povodí neprotéká žádný trvalý ani občasný vodní tok, jeho povodí tvoří výhradně zemědělsky využívané svahy a dvě výrazné údolnice. Jak ukazuje ??, z hlediska průběhů krátkodobých srážek v lokalitě dominuje přívalová hodinová srážka typu B, v menší míře jsou zastoupeny dvouvrcholová srážka typu C a rovnoramenný typ E. Ovlivnění odtokové odezvy na extrémní návrhové srážky s těmito průběhy a s dobami opakování 2-50 let ukazuje 18 a procentuální snížení kulminačních průtoků, objemu odtoku do konce simulace a posun kulminace je vyčíslen v 3.

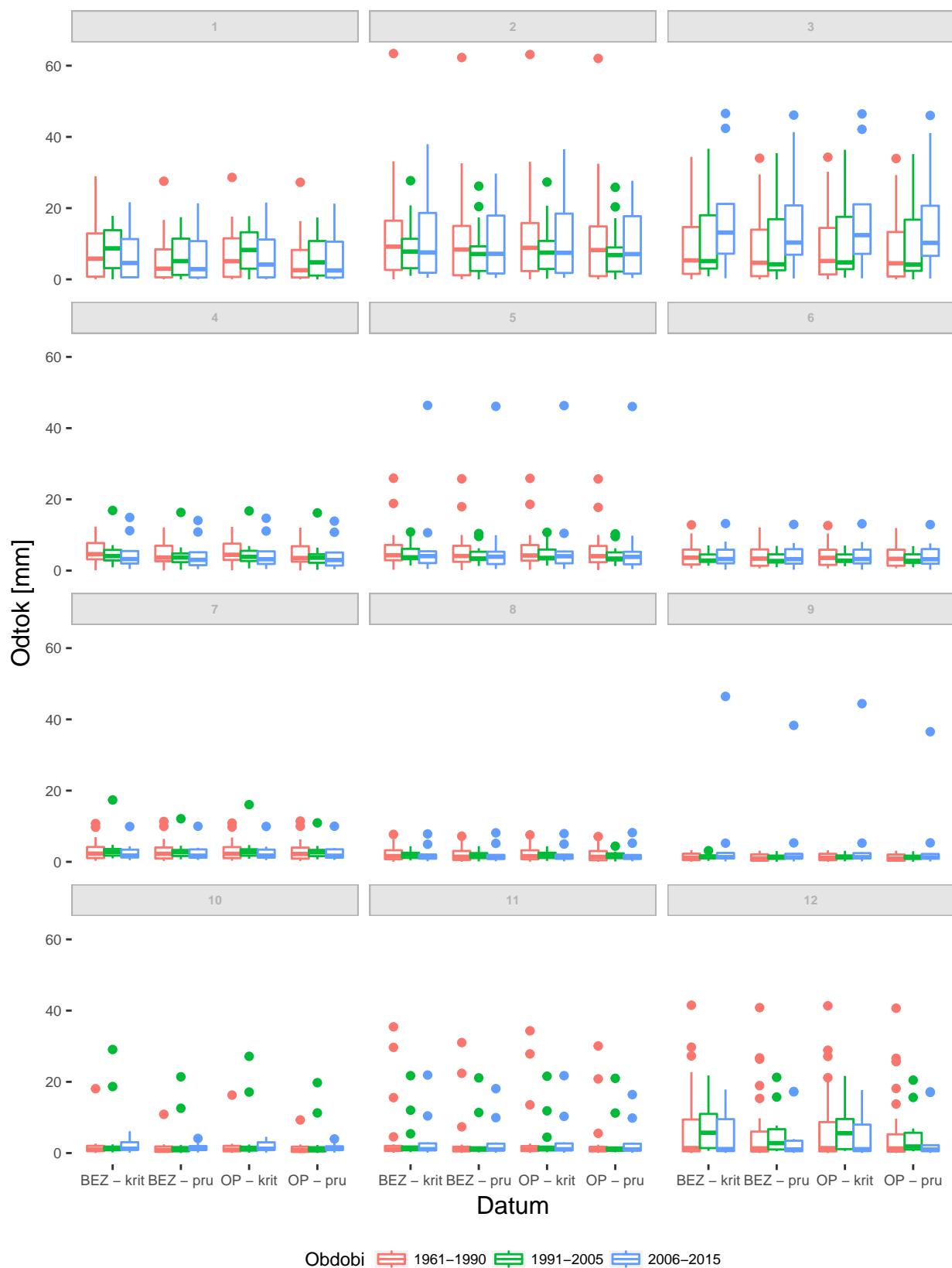
Z uvedených grafů a hodnot je patrné, že navržená opatření mají středně významný potenciál redukovat celkový objem odtoku i kulminační průtoky. Snížení objemu odtoku lze očekávat řádově o 15-26 % s vyšší redukcí pro kratší doby opakování. Na snížení má hlavní podíl



Obrázek 15: Průměrné měsíční odtokové výšky ve formě boxplotů pro jednotlivé varianty hodnocení



Obrázek 16: Změny měsíčních odtokových výšek ve formě boxplotů (pře opatřením a po realizaci opatření)



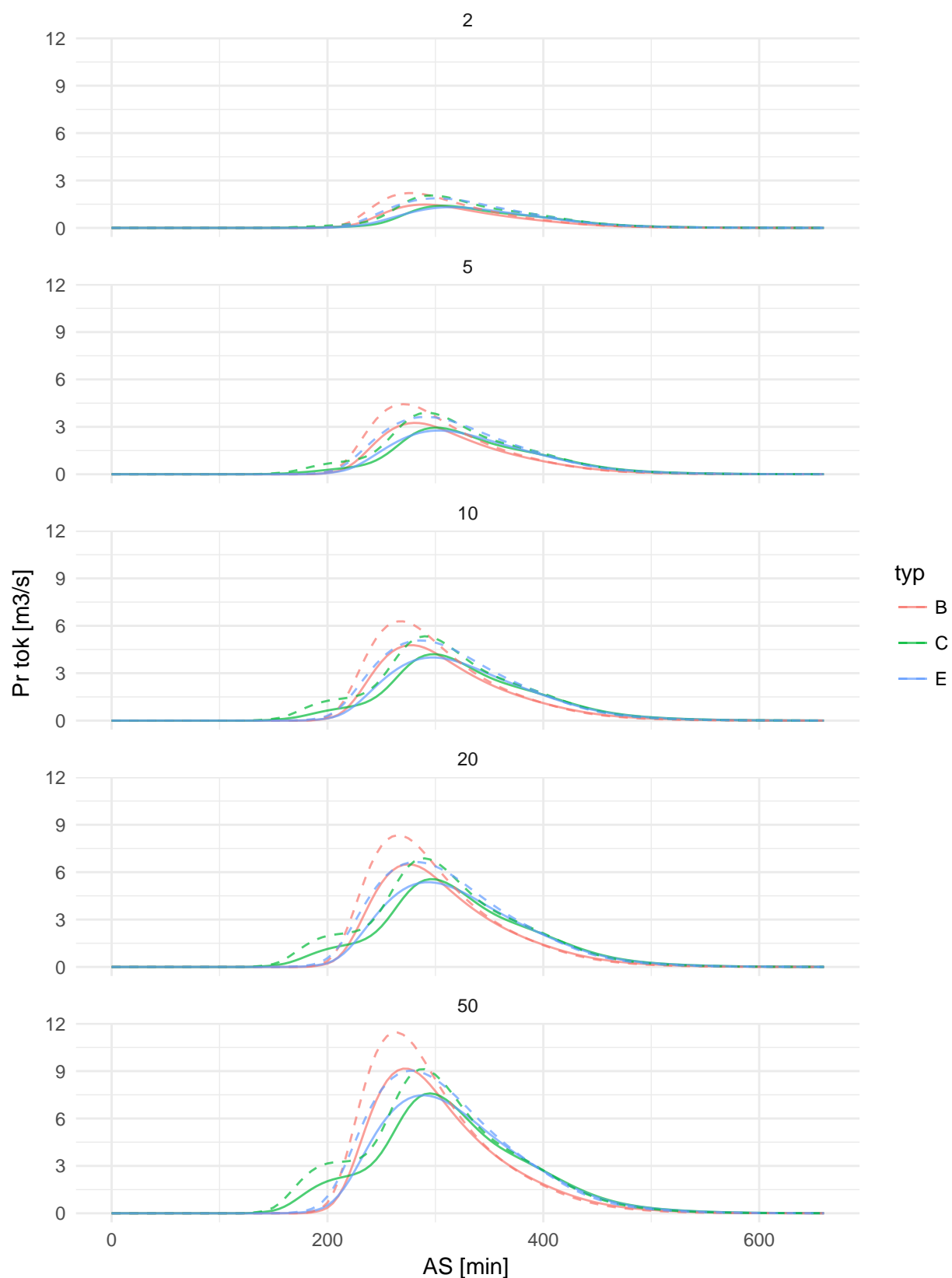
Obrázek 17: Měsíční odtokové výšky za období 1961-1990, 1991-2005 a 2006-2015 ve formě boxplotů bez opatření (BEZ) a s opatřením (OP)

technické opatření v údolnicích (stabilizace zatravněním), které je však zároveň diskutabilní z hlediska skutečných dopadů na objem odtoku, neboť se jedná o lokality z principu s vyšší saturací a tedy omezeným potenciálem pro dodatečnou retenci. Snížení kulminačních odtoků lze očekávat řádově o 17-33 % se stejným klesajícím trendem směrem k extrémnějším událostem. Zpoždění kulminací vlivem navržených opatření je možné považovat za velmi omezené, nejvýše v řádu 10-15 minut. Z hlediska průběhu posuzovaných návrhových srážek je v této lokalitě jednoznačně nejrizikovější přívalová srážka typu B.

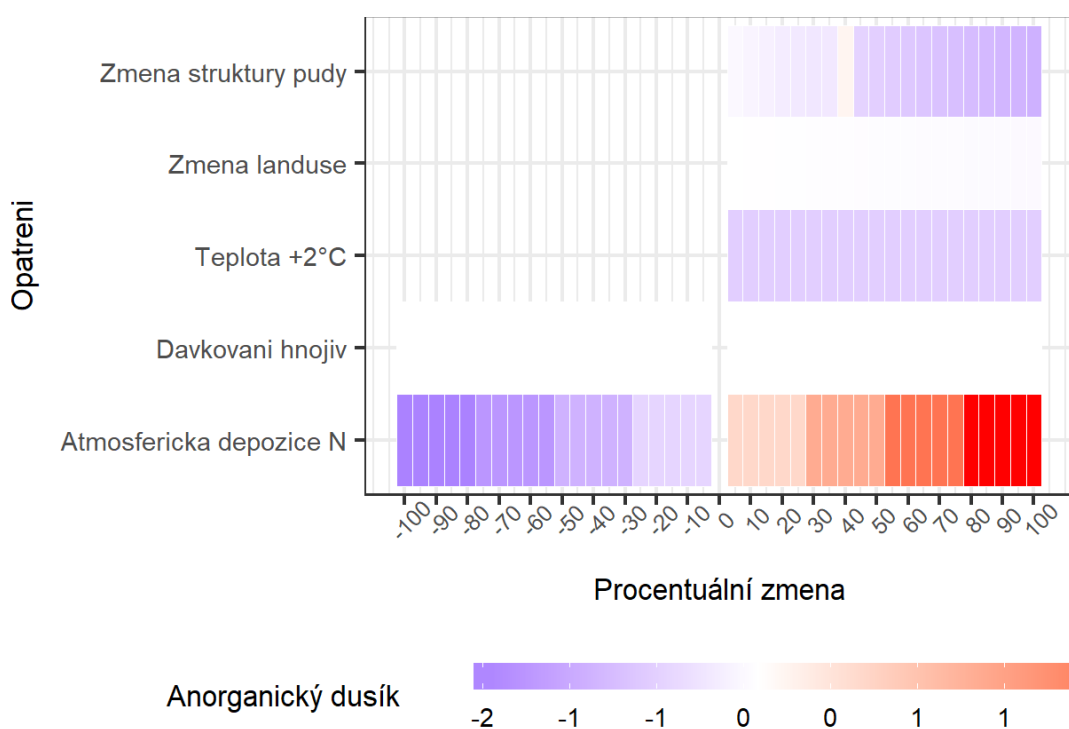
2.7 Výsledky modelování modelem HYPE

Obrázky 19, 20, 21 a 22 sumarizují citlivostní analýzu a dávají jasnou představu o tom jaká komponenta modelu má vliv na tu kterou koncentraci modelovaných látek. Na ose Y lze vidět danou komponentu modelu (adaptační opatření) na ose X pak procentuální změnu dané komponenty, přičemž hodnota (resp. barva) dlaždice udává průměrnou hodnotu změny od výchozí modelované koncentrace. Modrá barva značí pokles od výchozí koncentrace, naopak červená značí nárůst od výchozí koncentrace a bílá barva reprezentuje nulovou změnu.

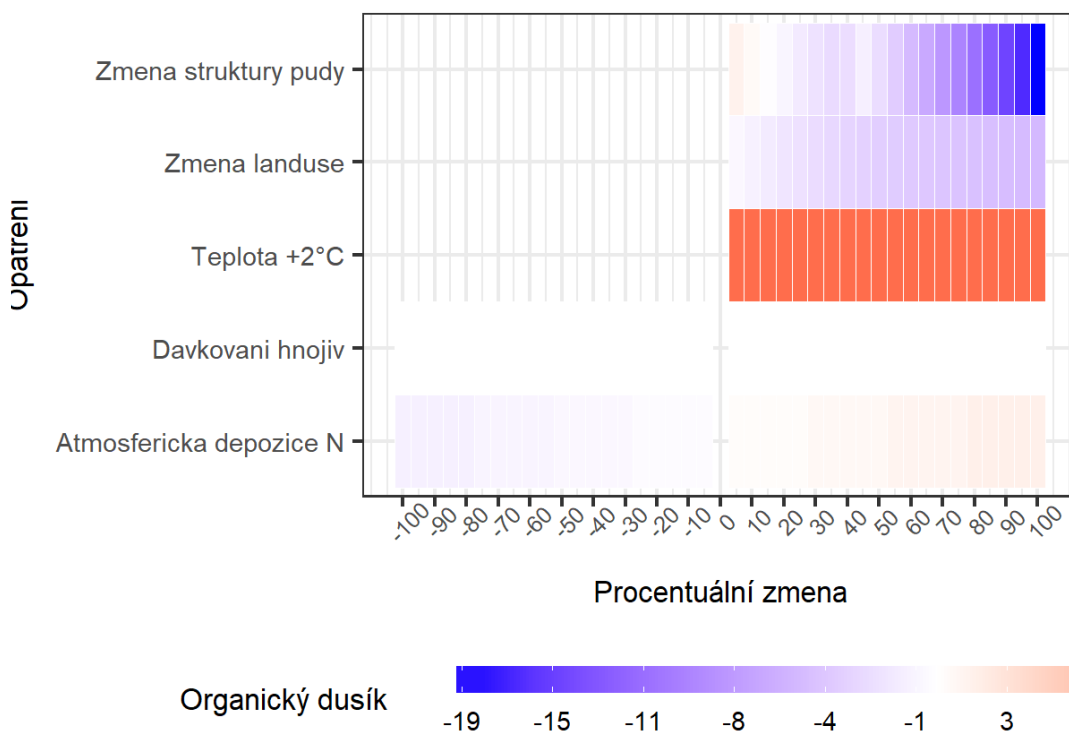
Hodnotový rozsah je pro každou látku specifický, poněvadž jejich koncentrace v povodích, respektive v tocích je rozdílná. Obecně lze vyvozovat, že s přechodem z jemnozrnné půdy na půdu s hrubší strukturou klesá koncentrace všech čtyř modelovaných látek (jmenovitě anorganický dusík, organický dusík, pevný fosfor a rozpustný fosfor). Přechod z orné půdy na luční porost zapříčinuje pokles koncentrace dusíku a rozpustného fosforu, nikoliv však pevného fosforu. Dávkování hnojiv má vliv pouze na fosfor v obou fázích a jejich výsledná koncentrace kladně koreluje s mírou dávkování, dusík zůstává neměnný. Stejně tak atmosférická depozice dusíku logicky kladně koreluje s mírou koncentrace dusíku v tocích. Zvýšení teploty o 2 st. C zapříčinuje nárůst pevného fosforu a organického dusíku a naopak pokles rozpustného fosforu a anorganického dusíku.



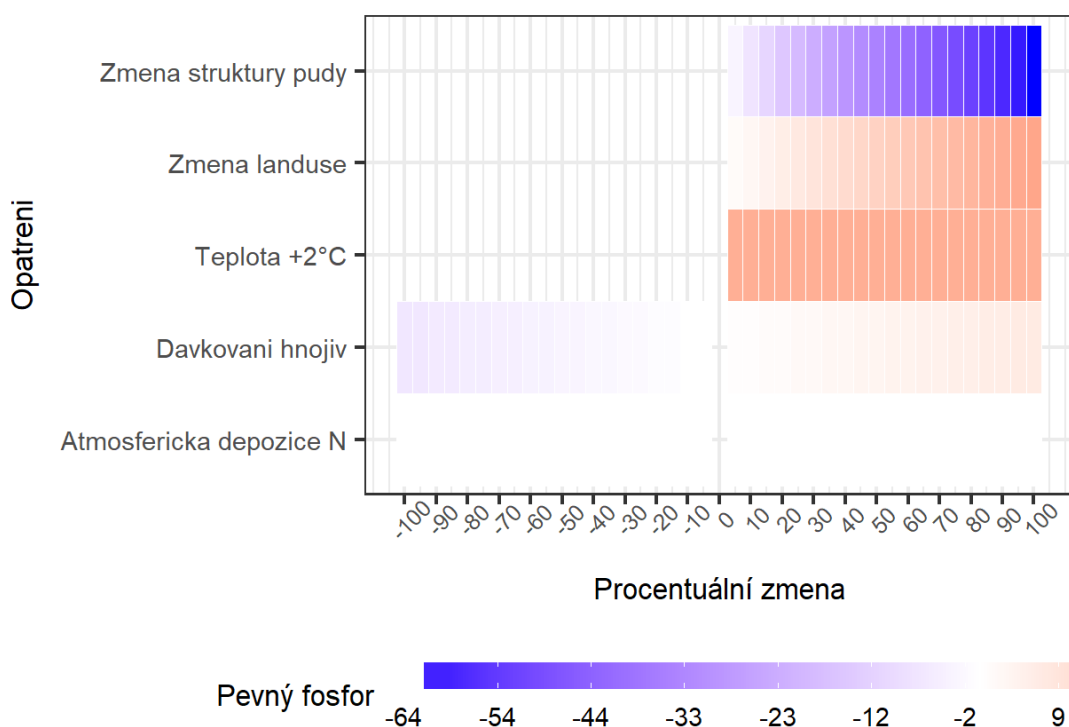
Obrázek 18: Návrhové průtoky dle N - letostí pro jednotlivé typy vln (čárkovaně-před opatřením, plně-po opatření)



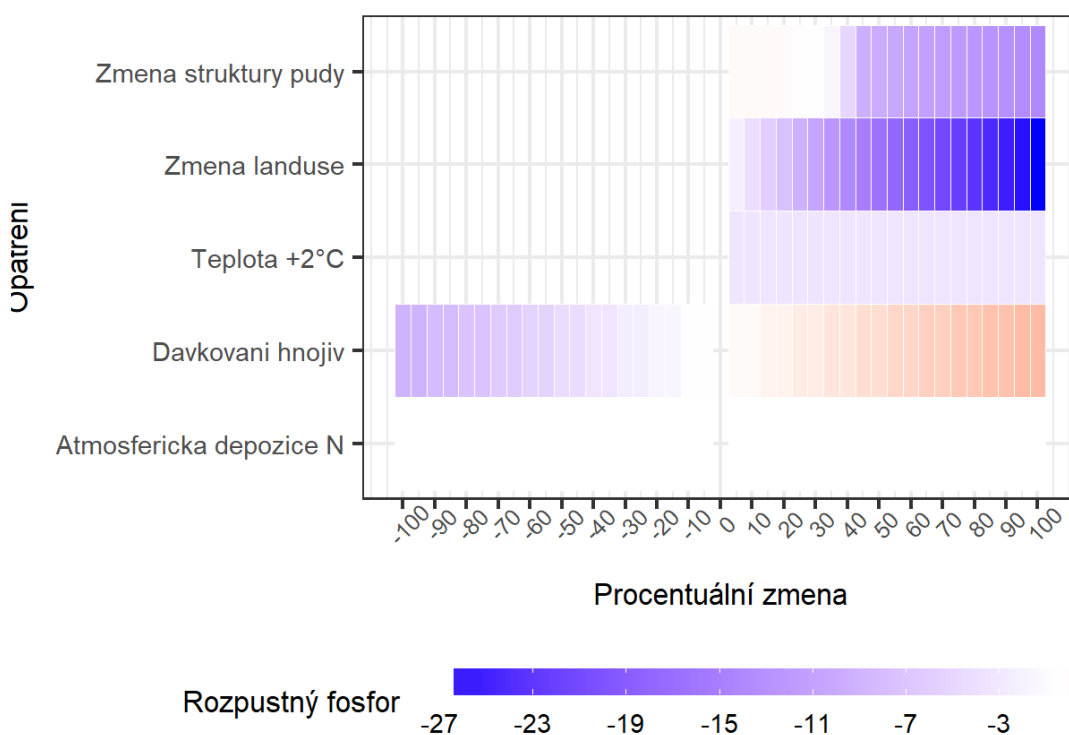
Obrázek 19: Anorganický dusík



Obrázek 20: Organický dusík



Obrázek 21: Pevný fosfor



Obrázek 22: Rozpustný fosfor

3 Závěr

Na lokalitě Bulhary je dlouhodobě výrazně negativní bilance (srážky-potenciální evapotranspirace), což vede k nízkým odtokovým výskám, a to především v letních období. Navržená a realizovaná opatření způsobí pokles odtoku především v zimním období, kdy tato voda zůstane zadržená v krajině. V letním období nebude docházet ke změnám průměrných odtoků a k mírnému poklesu dojde v měsících zaří a říjen.

Navržená opatření mají středně významný potenciál redukovat celkový objem odtoku i kulminační průtoky. Snížení objemu odtoku lze očekávat řádově o 15-26 % s vyšší redukcí pro kratší doby opakování. Na snížení má hlavní podíl technické opatření v údolnicích (stabilizace zatravněním), které je však zároveň diskutabilní z hlediska skutečných dopadů na objem odtoku, neboť se jedná o lokality z principu s vyšší saturací a tedy omezeným potenciálem pro dodatečnou retenci.

Obecně lze vyvozovat, že s přechodem z jemnozrnné půdy na půdu s hrubší strukturou klesá koncentrace všech čtyř modelovaných látek (jmenovitě anorganický dusík, organický dusík, pevný fosfor a rozpustný fosfor). Přechod z orné půdy na luční porost zapříčinuje pokles koncentrace dusíku a rozpustného fosforu, nikoliv však pevného fosforu. Dávkování hnojiv má vliv pouze na fosfor v obou fázích a jejich výsledná koncentrace kladně koreluje s mírou dávkování, dusík zůstává neměnný.

References

- Arheimer, B., Dahné, J., Donnelly, C., Lindström, G., Strömqvist, J. (2012) Water and nutrient simulations using the HYPE model for Sweden vs. the Baltic Sea basin–influence of input-data quality and scale. *Hydrology research*, 43(4), 315–329.
- Havlík, A., Fremrová, L. (2010) TNV 75 2102 Úpravy potoků.
- Macků, J. (2012) Problematika stanovení hydrologických skupin půd v lesích. In *Krajinné inženýrství 2012*, Ministerstvo zemědělství, Praha, 15–22, ISBN 978-80- 87384-03- 9.
- Müller, M., Kašpar, M., Bližnák, V. (2017) Rainfall time structure variability depending on precipitation depths and duration.
- Máca, P., Bašta, P., Kožín, R., Hanel, M. (2016) Využití geomorfologických charakteristik pro odhad celkové retence povodí. *Vodohospodářské technicko-ekonomické informace*, 58(6), 54–57.

SCS (1986) Urban hydrology for small watersheds. Technická zpráva, Engineering Division, Soil Conservation Service, US Department of Agriculture, Washington, DC.

Smelík, L. (2016) Analýza změn odtokových poměrů pro Českou republiku. *Vodohospodářské technicko-ekonomické informace*, 58(4), 7–12.

Vizina, A., Horáček, S., Hanel, M. (2015) Nové možnosti modelu Bilan. *Vodohospodářské technicko-ekonomické informace*, 57(4–5), 7–10.

Tabulka 2: Hodnoty CN II pro jednotlivá opatření a hydrologické skupiny půd

Opatření	A	B	C	D
Zasakovací pásy	34.5	59.5	72.5	79
Svodný průleh	34.5	59.5	72.5	79
Svodný příkop	81	88	91	93
Vyloučení erozně nebezpečných plodin	77	86	91	94
Protierozní agrotechnika -širokoř. kultury	64	74	81	85
Vyloučení širokorádkových plodin mírnější	75.5	84.5	89.5	92
Vyloučení erozně nebezpečných plodin a protierozní agrotechnologie	74	83	88	90
Plošné TTP (zatravnění plošné dle HPJ)	34.5	59.5	72.5	79
Stabilizace drah soustředěného odtoku	34.5	59.5	72.5	79
Ochranné pásy podél vodních toků a vod. ploch	34.5	59.5	72.5	79
Zatravnění na speciálních kulturách	37.6	61.3	73.6	79.9
Plošné TTP (zatravnění plošné dle sklonu)	34.5	59.5	72.5	79
Plošné TTP (zatravnění plošné dle eroze)	34.5	59.5	72.5	79
Polní cesta zpevněná s příkopem	83	89	92	93
Ochranný sad, vinice	37.6	61.3	73.6	79.9
Zatravnění	34.5	59.5	72.5	79
Agrotechnika mírnější	75.5	84.5	89.5	92
Agrotechnika přísnější	74	83	88	90
Mez, hrázka	32.5	57	70.5	77.5
Záhytný průleh	34.5	59.5	72.5	79
Větrolam	30	55	70	77
Mokřad	83	89	92	93
Vodní nádrž nová	98	98	98	98
Biocentrum	30	55	70	77
Biokoridor	30	55	70	77
Interakční prvek	30	55	70	77
Opatření na stávajících VN	-1	-1	-1	-1
Přehrážka	83	89	92	93
Revitalizace toku a nivy	-1	-1	-1	-1
Suchá nádrž	34.5	59.5	72.5	79

Tabulka 3: Vyhodnocení krátkodobých srážko-odtokových epizod

$N(roky)$	TYP	Q_{pre}	Q_{po}	V_{pre}	V_{po}	T_{pre}	T_{po}	dQ	dV	$Posun$
2	B	2.20	1.50	16 384	11 763	14:35	14:50	-33%	-28%	15
2	C	2.10	1.40	16 348	11 755	14:55	15:05	-32%	-28%	10
2	E	1.90	1.30	16 359	11 748	15:00	15:15	-30%	-28%	15
5	B	4.40	3.20	31 985	24 989	14:30	14:40	-27%	-22%	10
5	C	3.90	2.90	31 904	24 935	14:50	15:00	-24%	-22%	10
5	E	3.60	2.80	31 941	24 964	14:50	15:05	-24%	-22%	15
10	B	6.30	4.80	44 764	36 210	14:30	14:40	-24%	-19%	10
10	C	5.30	4.20	44 672	36 127	14:50	15:00	-21%	-19%	10
10	E	5.10	4.00	44 719	36 168	14:45	14:55	-21%	-19%	10
20	B	8.30	6.50	58 741	48 716	14:25	14:35	-22%	-17%	10
20	C	6.90	5.60	58 641	48 628	14:50	14:55	-19%	-17%	5
20	E	6.60	5.40	58 687	48 675	14:40	14:55	-19%	-17%	15
50	B	11.40	9.20	79 912	67 933	14:25	14:30	-20%	-15%	5
50	C	9.10	7.60	79 770	67 840	14:50	14:55	-17%	-15%	5
50	E	9.00	7.50	79 805	67 889	14:40	14:50	-17%	-15%	10